

## \* تخریب خمی جاذب‌های انرژی جدار نازک و ارائه مدل ساده‌شده عددی

(یادداشت پژوهشی)

احمد رحمتی علایی<sup>(۱)</sup> محسن غضنفری<sup>(۲)</sup> مجید شهری<sup>(۳)</sup>

**چکیده** سیستم‌های جذب انرژی ضربه در صنایع خودروسازی و ریلی به عنوان راه حلی برای کم کردن اثر ضربه وارد به سرنشینان و بالا بردن ایمنی از اهمیت ویژه‌ای برخوردار است. این مقاله بر روی رفتار تخریب خمی جاذب‌های انرژی جدار نازک با مقاطع دایروی و مربعی تمرکز می‌کند. تئوری به کار گرفته شده در آن تعادل انرژی کل است. مود متداول تخریب خمی شده استخراج روابط، مدل نظری می‌باشد. به همین منظور روابط به دست آمده با نتایج منتشر شده برای مقاومت خمی سازه‌های لوله‌ای جدار نازک شامل مطالعات آزمایشگاهی و تحلیلی مقایسه شده‌اند. در ادامه با استفاده از رابطه مقاومت خمی استخراج شده، مدل‌های ساده‌شده برای لوله‌های دایروی و مربعی معرفی می‌گردند. مزیت اصلی مدل‌های ساده‌شده به عنوان یک تکنیک مدل‌سازی بحرانی، کاهش چشمگیر در زمان محاسبات رایانه در مراحل اولیه طراحی با ارائه نتایج نزدیک به مدل اصلی است. بدین منظور با شبیه‌سازی ضربه محوری لوله دارای خم با کمک نرم‌افزار المان محلود دینامیکی غیرخطی LS-DYNA نتایج به دست آمده مقایسه گردیده‌اند، تا دقت مدل ساده‌شده و هم‌چنین رابطه مقاومت خمی استخراج شده صحت سنجی گردد.

**واژه‌های کلیدی** جاذب انرژی، دایروی–مربعی، ضربه، تخریب خمی، مدل ساده‌شده.

## Bending Collapse of Thin Walled Energy Absorber and Presenting Numerical Simplified Model

A. Rahmati      M. Ghazanfari      M. Shahrvai

**Abstract** Impact energy absorption systems in various industries such as automotive and railway have a particular importance to minimize the impact on passengers and enhance vehicle safety. This paper focuses on the bending collapse behavior of thin-walled energy absorber with circular and square cross sections. The theory that is applied is global energy equilibrium and the prevalent bending collapse mode for obtaining the relationship is considered. On the same basis, obtained relations are compared with the published results for the bending strength of tubular structures which were derived from experimental and analytical studies. Subsequently by using the derived bending strength formula, simplified models for circular and square tubes is introduced. The main advantage of these simplified models as a critical modeling technique is dramatically reducing the time of computer simulation in early design stages with the results close to the original model. For this purpose, by axial crash simulation of curved tube by using nonlinear dynamic finite element software LS-DYNA, the results are compared to verify the efficiency of the proposed simplified model and the accuracy of the derived relationship for tube's bending strength.

**Key Words** Energy absorber, Circular-square, Crash, Bending collapse, Simplified model.

★ تاریخ دریافت مقاله ۹۲/۰۴/۱۸ و تاریخ پذیرش آن ۹۲/۱۰/۷ می‌باشد.

(۱) دانشجوی کارشناسی ارشد، مهندسی مکانیک (ماشین‌های ریلی)، دانشگاه علم و صنعت ایران، تهران.

(۲) دانشجوی کارشناسی ارشد، مهندسی مکانیک (ماشین‌های ریلی)، دانشگاه علم و صنعت ایران، تهران.

(۳) نویسنده مسئول، استادیار، مهندسی مکانیک، دانشگاه علم و صنعت ایران، تهران. [m\\_shahrvai@iust.ac.ir](mailto:m_shahrvai@iust.ac.ir)

## مقدمه

علاوه بر این سازه‌ها، لوله‌های دایروی جدار نازک سازه‌های مهمی هستند که به طور گسترده در صنایع خودروسازی در طراحی وسایل سبکوزن استفاده می‌شوند. تاکنون ضربه محوری لوله‌های دایروی جدار نازک به طور کامل بررسی و به صورت آزمایشگاهی و تحلیلی با تئوری‌های مناسب شرح داده شده‌اند.

آبراموویچ و همکارانش [7] رفتار ضربه محوری لوله‌های دایروی را بررسی نمودند که شامل اثر سرعت ضربه و مشخصه‌های جذب انرژی این لوله‌ها هست. در کار آن‌ها معادلات مهمی استخراج گردید که بر پایه روش‌های عددی و تأییدشده با آزمایش هستند. علاوه بر این مورد، ژنگ و همکارانش [8] پاسخ ممان-زاویه را برای سازه‌های لوله‌ای از طریق بررسی‌های تحلیلی و آزمایشگاهی به دست آورده‌اند.

در این مقاله، مکانیزم تخریب خمی لوله جدار نازک بررسی شده است و بر پایه آن پاسخ ممان-زاویه از طریق روش تعادل انرژی استخراج گردیده است. در ادامه، یافته‌های این تحقیق با نتایج ژنگ برای صحبت‌سنگی مقایسه شده‌اند. لازم به ذکر است مدل ساده‌شده نیز یک تکنیک مدل‌سازی بحرانی است که می‌تواند به طور مستقیم در مراحل اولیه طراحی برای ارزیابی تحلیل‌های ضربه و شبیه‌سازی مورد استفاده قرار گیرد.

مدل ساده‌شده، یک مدل اجزای محدود می‌باشد که شامل المان‌های تیر و فنر است که در قیاس با مدل دقیق به کار و زمان کمتری برای تحلیل نیاز دارد. ضمناً می‌تواند به عنوان پاسخ مناسب برای شبیه‌سازی سریع و کارآمد کامپیوتری در نظر گرفته شود [1]. در این مدل از رابطه ممان-زاویه به دست آمده از روش تعادل انرژی استفاده شده است تا در آن المان‌های فنر غیرخطی تعریف گردد و رفتار ضربه برای خطوط پلاستیک محوری شبیه‌سازی شود [10]. نتایج مقایسه تطابق مناسبی را بین مدل ساده‌شده و مدل دقیق نشان می‌دهد، لذا صحت رابطه ممان-زاویه استخراج شده

سازه‌های جدار نازک به طور گسترده در صنایع متعدد مهندسی به‌ویژه صنعت خودرو و ریلی به عنوان جاذب‌های انرژی استفاده می‌شوند. از جمله این کاربردها می‌توان به جذب انرژی ضربه ناشی از حوادث رانندگی اشاره کرد. لوله‌های جدار نازک به‌خاطر سبکی، ظرفیت جذب انرژی بالا، طول لهیگی زیاد و نسبت جذب انرژی به وزن بالا به عنوان یکی از کارآمدترین سیستم‌های جذب انرژی کاربرد روزافزونی پیدا کرده‌اند. تاکنون مطالعات انجام شده برای افزایش کارایی جذب انرژی، اینمی و قابلیت اطمینان آن‌ها در برابر رفتار ضربه مورد توجه بسیاری از محققان بوده است. این مقاله نیز بر روی یک جاذب انرژی S شکل که می‌توان آن را به عنوان شکل ساده‌ای از انتهای جلوی سر شاسی خودرو در نظر گرفت، تمرکز می‌کند. در اینجا با استفاده از روش تعادل انرژی، روابط بین نیروها و کاهش طول محوری در فشردن و هم‌چنین رابطه ممان اعمال شده و زاویه چرخش در ضربه خمی به دست آمده است. لازم به ذکر است مطالعات قبلی معادلات ریاضی متعددی را برای شرح و پیش‌بینی ارتباط انواع سازه‌های جدار نازک توسعه داده‌اند. این معادلات در پیش‌بینی رفتار ضربه این‌گونه از سازه‌ها اهمیت بسیاری دارند. ایده این تحقیق نیز بر این اصل تأکید می‌کند که معادلات مربوط می‌توانند جهت معرفی مدل‌های ساده‌شده برای سازه‌های جدار نازک استفاده شوند و هم‌چنین قابلیت جایگزینی با مدل‌های دقیق در تحلیل‌های ضربه را دارا هستند. مزیت اصلی مدل‌های ساده‌شده کاهش زمان تحلیل در رایانه با ارائه نتایج نزدیک به مدل اصلی است. لیو و دی [1] مشخصات خمی تیرهای جدار نازک با مقطع کانالی شکل C را توسعه دادند. هم‌چنین ککمن [4]، ویرزیکی و همکارانش [5-6] معادلاتی را توسعه دادند که مقاومت خمی و محوری تیرهای جدار نازک را با مقطع قوطی شکل پیش‌بینی می‌نماید.

شکل تغییریافته برای مدل لوله‌های دایروی جدار نازک بعد از تست ضربه محوری و خمین سه نقطه تأیید می‌گردد (شکل ۳).

در حین استخراج روابط، فرض شده است که کل کار انجام شده به وسیله نیروهای خارجی توسط سازه جذب گردد و به کار خارجی تبدیل شود. بر اساس روش کار مجازی، انرژی درونی در طول ۶ خط گذرنده محوری توزیع می‌گردد (خطوط ۱ تا ۶ در شکل ۲) که برابر با حاصل ضرب ممان خمشی بر واحد طول ( $M_0$ ) در اندازه هر کدام از خطوط محوری است.

بر پایه فرض‌های بالا رابطه ممان ( $M$ ) می‌تواند طبق فرمول‌های زیر محاسبه شود. از روابط هندسی نشان داده شده در شکل (۲) می‌توان دریافت:

$$\delta = 2H(1 - \cos\alpha) \quad (1)$$

که  $\delta$  کاهش طول محوری مربوط به تاشدگی پلاستیک،  $H$  نصف طول تاشدگی و  $\alpha$  زاویه تاشدگی است. بر پایه تعادل انرژی در حین ضربه، نرخ انرژی درونی جذب شده با مکانیزم تخریب بایستی برابر با نرخ کار انجام‌شده توسط نیروهای خارجی باشد. بنابراین:

$$E_{ext} = E_{int} \Rightarrow \dot{E}_{ext} = \dot{E}_{int} \quad (2)$$

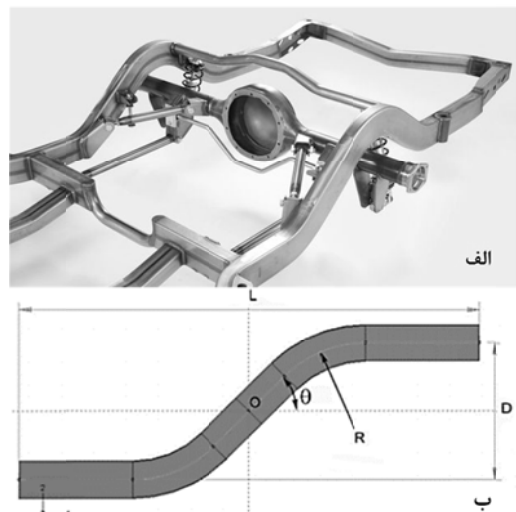
بر پایه قانون کار مجازی، نرخ کار نیروی خارجی می‌تواند به صورت حاصل ضرب نیروی لحظه‌ای و سرعت نسبی متناظر با مکانیزم کوتاه‌شدن محوری بیان شود. بنابراین کار در واحد زمان برای نیروی خارجی برابر خواهد بود با:

$$\dot{E}_{ext} = P\dot{\delta} = 2PH \sin\alpha \dot{\alpha} \quad (3)$$

برای لوله جدار نازک تأیید می‌گردد.

### جادب انرژی S شکل

شکل (۱-الف) نمایی از شاسی یک خودرو را نشان می‌دهد. بسیاری از قطعات شاسی و بدنه خودروها از سازه‌های جدار نازک فولادی تشکیل شده‌اند. مطابق شکل (۱-ب) سازه جدار نازک S شکل را می‌توان به عنوان یک نمونه ساده‌شده از نرده پایین قسمت جلوی شاسی خودرو در نظر گرفت [11, 2].



شکل ۱ جاذب انرژی S شکل (الف) شاسی خودرو (ب) مدل ساده‌شده برای نرده پایین و جلوی شاسی خودرو

### مکانیزم تخریب خمشی

در این بخش روابط ممان-زاویه برای لوله‌های جدار نازک با به کارگیری روش تعادل انرژی کل استخراج می‌شود. مود تخریب متداول این لوله‌ها در شکل ۲ نشان داده شده است. این مود از نتایج شبیه‌سازی عددی لوله استوانه‌ای با تکیه‌گاه ساده در معرض تخریب خمش سه نقطه‌ای پیش‌بینی و نیز از طریق آزمایش‌های خمش تأیید شده است [9]. لازم به ذکر است اگرچه در این شکل مود تخریب خمش سه نقطه مد نظر است اما همچنان می‌تواند با مود تخریب ضربه محوری تطبیق داده شود [9] و این فرض با مقایسه

همان طور که در شکل مشاهده می شود طول خطوط محوری ۱ و ۲ برابر با نصف محیط دایره یعنی  $\sqrt{\frac{(\pi R)^2}{4} + H^2}$  محاسبه ( $\pi R$ ) و طول خطوط ۳ تا ۶ با  $\sqrt{\frac{(\pi R)^2}{4} + H^2}$  برابر با می شود. بنابراین نرخ چرخش خط محوری ۱ برابر با نرخ خمی  $H$  (یعنی  $\dot{\alpha}$ ) است. از شکل مشابه نتیجه می گردد که نرخ چرخش خط محوری ۲ برابر با  $\dot{\theta}$  است. خطوط محوری ۳ تا ۶ نیز با زاویه متفاوتی نسبت به خطوط ۱ و ۲ چرخش دارند. در روابط ذیل این چرخش با زاویه  $\gamma$  نشان داده شده است. (شکل ۴) مطابق جدول (۱) نرخ انرژی توزیع شده در طول خطوط محوری برابر است با:

$$\dot{E}_1 = M_0 \pi R \dot{\alpha} \quad (5)$$

$$\dot{E}_2 = M_0 \pi R \dot{\theta} \quad (6)$$

$$\dot{E}_3 = M_0 \sqrt{\frac{(\pi R)^2}{4} + H^2} \dot{\gamma} \quad (7)$$

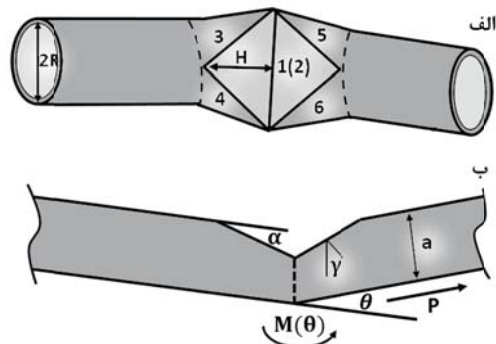
جدول ۱ خطوط محوری در مود تخریب لوله جدار نازک

اندازه	خط محوری	نرخ زاویه چرخش
$\pi R$	خط ۱	$\dot{\alpha}$
$\pi R$	خط ۲	$\dot{\theta}$
$\sqrt{\frac{(\pi R)^2}{4} + H^2}$	خط ۳ الی ۶	$\dot{\gamma}$

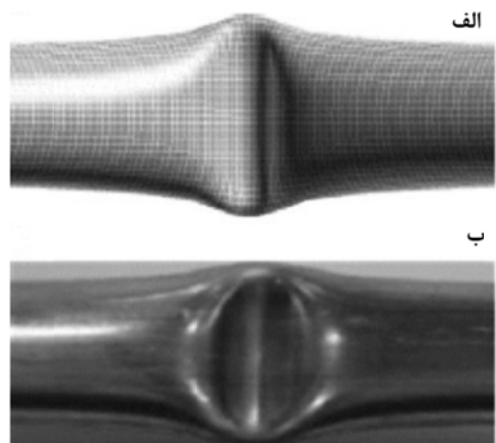
از شکل (۵) استنباط می شود که:

$$\tan\left(\frac{\theta}{2}\right) = \frac{\dot{\gamma}}{\dot{\alpha}} = \frac{H(1-\cos(\alpha))}{a}$$

سطح مقطع مربعی برای سطح مقطع دایروی است. از بررسی های قبلی در مرجع [۸] در مورد سازه های جدار نازک می توان دریافت که مشخصه های حل برای مقاطع مربعی و دایروی بسیار شبیه هم هستند. بنابراین هر لوله دایروی می تواند با استفاده از لوله مربعی معادل، تقریب زده شود. مطابق مرجع [۸] عرض معادل



شکل ۲ مکانیزم تخریب لوله دایروی (الف) نمای صفحه ای (ب) نمای برش خورده، نیروی لحظه ای  $P$  و ممان  $M(\theta)$



شکل ۳ مود تخریب از شبیه سازی کامپیوتری

(الف) ضربه محوری (ب) خمی سه نقطه ای [۳]

نیروی  $P$  همان طور که در شکل (۲) نشان داده شده است نیروی ضربه ایجاد شده حاصل از برخورد لوله جدار نازک با دیوار صلب است که در قسمت بعد به صورت عبارتی از شعاع متوسط لوله، ضخامت  $t$  و زاویه خمی  $\theta$  معروفی می گردد. از شکل (۲) مشاهده می گردد که تاشدگی در این شش خط محوری رخ می دهد، لذا فرض می شود در حین ضربه، انرژی درونی در طول ۶ خط محوری (۱ تا ۶) توزیع گردد و هم چنین به دلیل مکانیزم متقارن، انرژی درونی به طور مساوی بین خطوط ۱ تا ۶ تقسیم می گردد. بنابراین نرخ کل انرژی جذب شده برابر است با:

$$\dot{E}_{int} = \sum_{i=1}^6 \dot{E}_i = \dot{E}_1 + 4\dot{E}_3 \quad (4)$$

فرض زاویه کوچک  $\alpha$  نیروی لحظه‌ای  $P$  می‌تواند طبق رابطه زیر محاسبه شود:

$$P = M_0 \left( \frac{\pi R}{2H\alpha} + \frac{\pi}{1.63} + \sqrt{\left(\frac{\pi^2 R^2}{4} + H^2\right) \left(\frac{H}{1.63R\alpha}\right)} \right) \quad (11)$$

طبق بررسی‌های ژنگ [8]:

$$H = 1.84R(t/2R)^{0.5} \quad (12)$$

که  $t$  ضخامت لوله است. رابطه (12) یک پاسخ تحلیلی برای قسمت تاشده لوله دایروی است که با مینیمم کردن انرژی جذب شده نسبت به  $H$  بدست آمده است. این معادله براساس مدل پلاستیک و رابطه ضخامت لوله  $(\frac{R}{t} < 30)$  توسعه داده شده که در محدوده پلاستیک تغییر شکل داده است. با جایگذاری رابطه (12) و (8) در رابطه (11) رابطه بین نیروی لحظه‌ای  $P$  و زاویه  $\theta$  به دست می‌آید:

$$P = M_0 \left( 1.08 \left( \frac{R}{t} \right)^{1/4} \left( \frac{1}{\sqrt{\theta}} \right) + 1.93 + \sqrt{(0.75R + 0.51t) \left( \frac{t^{1/4}}{R^{3/4}} \right) \left( \frac{1}{\theta} \right)} \right) \quad (13)$$

از رابطه (13) و (11) مشاهده می‌شود که نیروی لحظه‌ای  $P$  در حین تخریب خمین تابعی از زاویه خمین ( $\theta$ ) است. سرانجام  $M(\theta)$  یعنی ممان خمینی که از نیروی  $P$  به دست می‌آید، می‌تواند به سادگی از رابطه (14) برابر با حاصل ضرب نیرو در بازو مشخص گردد.

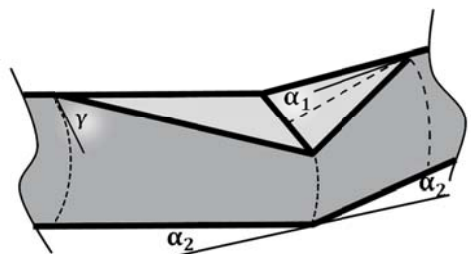
$$M(\theta) = Pa = P(1.63R) = M_0 \left( 1.76 \left( \frac{R^{5/4}}{t^{1/4}} \right) \left( \frac{1}{\sqrt{\theta}} \right) + 3.15 + \sqrt{(2R + 1.36t)(Rt)^{1/4}} \left( \frac{1}{\theta} \right) \right) \quad (14)$$

نمودار رابطه (14) در شکل (۶) رسم شده است.

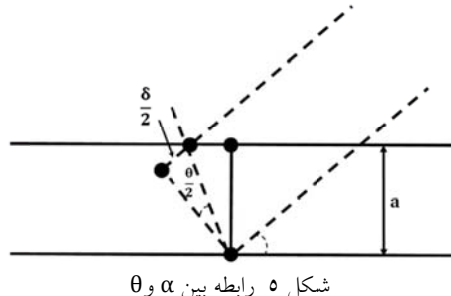
از این شکل می‌توان دریافت که با استفاده از رابطه  $M(\theta)$

مربعی با روش تحلیلی،  $R/63$  محاسبه و تأیید شده است که با این مقدار ممان اول سطح مقطع دایروی و مربعی یکسان است. برای مقادیر کوچک زوایای  $\alpha$  و  $\theta$  رابطه زیر می‌تواند با استفاده از بسط تیلور نوشته شود:

$$\begin{aligned} \left( \frac{\theta}{2} \right) &= \frac{\delta}{a} = \frac{H(1-\cos(\alpha))}{a} = \frac{H(1-\left(1-\frac{\alpha^2}{2}\right))}{a} \\ \Rightarrow \theta &= \frac{H}{a}\alpha^2 \Rightarrow \alpha = \left( \frac{a\theta}{H} \right)^{0.5} \end{aligned} \quad (8)$$



شکل ۴ زاویه پیچخش  $\gamma$  برای خطوط محوری ۳ تا ۶



شکل ۵ رابطه بین  $\alpha$  و  $\theta$

زاویه  $\gamma$  با رابطه  $\tan(\gamma) = \left( \frac{\tan(\frac{\theta}{2})}{\sin(\alpha)} \right)$  مرتبط می‌شود.

$$\gamma = \frac{(\theta/2)}{\alpha} = \frac{1}{2} \frac{H}{a} \alpha \Rightarrow \gamma = \frac{1}{2} \left( \frac{H\theta}{a} \right)^{0.5} \quad (9)$$

از جایگذاری رابطه (۹) و (۸) در روابط (۴-۷) رابطه (۱۰) به دست می‌آید:

$$\dot{E}_{int} = M_0 \dot{\alpha} \left( \pi R + \frac{2\pi\alpha H}{1.63} + \sqrt{\left(\frac{\pi^2 R^2}{4} + H^2\right)} \left( \frac{H}{1.63R} \right) \right) \quad (10)$$

جایگذاری رابطه (۱۰) و (۳) در رابطه (۲) و با

داده های آزمایشگاهی نیز صحبت سنجی شده اند.

$$M(\theta) = 4t^2 M_0 \left( -\frac{4}{3} + 2.6117 \left( \frac{R}{t} \right)^{11/12} \left( \frac{1}{\sqrt{\theta}} \right) \right) \quad (15)$$

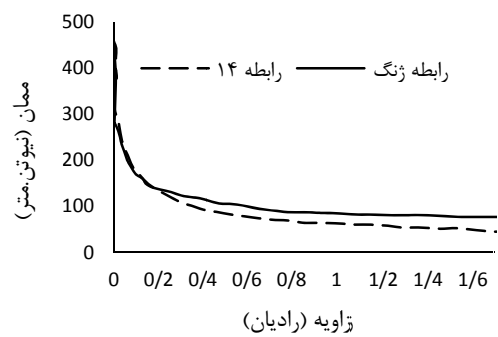
در معادلات (15) و (14)،  $M_0$  ممان پلاستیک بر واحد طول دیواره مقطع است که برابر با  $(\sigma_0 t^2 / 4)$  است. ابعاد مدل لوله منحنی شکل دایروی جدار نازک به کار گرفته شده،  $D=50\text{mm}$  و  $t=1.5\text{mm}$  می باشد. منحنی های ممان-زاویه برای معادلات (15) و (14) در شکل (۶) رسم شده اند. از این شکل می توان دریافت که رابطه  $M(\theta)$  مطابق مناسبی با پاسخ ژنگ [8] دارد.

### مدل ساده شده عددی

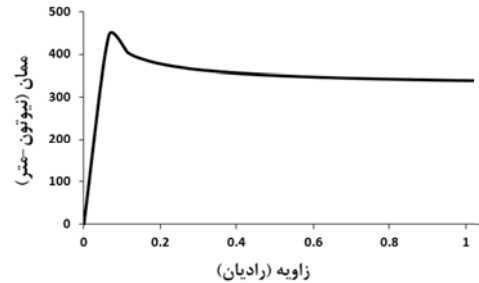
اکنون معادله (14) برای مدل ساده به کار گرفته می شود و از آن برای تحلیل های ضربه استفاده خواهد شد. در شبیه سازی های پیشرو مدل لوله جدار نازک با یک سرعت اولیه به دیوار صلب برخورد می کند و تخریب حاصل می شود. از مرجع [1] می توان دریافت هنگامی که تیر جدار نازک بدون خم با دیوار صلب برخورد می کند، کمانش محوری رخ می دهد و هیچ گونه تخریب خمی ظاهر نمی گردد. با این وجود هنگامی که تیر جدار نازک دارای خم با دیوار برخورد کند چار خم خواهد شد و تخریب خمی بر روی خطوط محوری پلاستیک متumerک می شود. بنابراین در اینجا مدل لوله جدار نازک دارای خم با مقطع دایروی و مربعی برای تحلیل ضربه استفاده می شود تا تخریب خمی را نشان دهد.

با استی تأکید گردد که اگرچه معادله (14) برای لوله های بدون خم استخراج شده است، ولی با این وجود هم چنان می تواند برای لوله های دارای خم نیز استفاده شود؛ زیرا لوله های دارای خم در ضربه محوری و بدون خم در خم سه نقطه ای، مکانیزم تخریب

برای زوایای بیشتر از  $0/2$  رادیان استفاده گردد، چرا که با ترسیم رابطه (14) و بزرگ نمایی در شکل (۷) مشخص می شود که در زوایای کمتر از  $2$  رادیان نمودار ممان، صعودی است. با استی تأکید گردد، در بخش بعدی رابطه (14) به منظور مدل سازی فن پیچشی غیر خطی در مدل ساده شده لوله جدار نازک که مهم ترین قسمت مدل ساده شده برای تغییر شکل های پلاستیک است، مورد استفاده قرار خواهد گرفت.



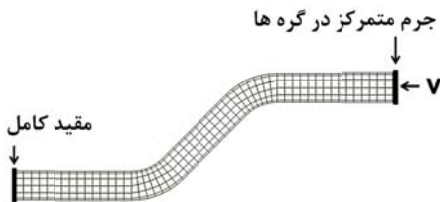
شکل ۶ رابطه (۱۴) (مان-زاویه) برای لوله جدار نازک



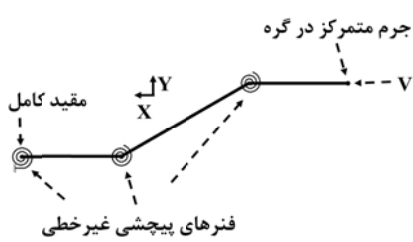
شکل ۷ نمودار ممان-زاویه خم و رویدی  
به نرم افزار LS-DYNA

### اعتبارسنجی

در این قسمت رابطه ممان-زاویه استخراج شده (رابطه 14) برای لوله دایروی با مقایسه رابطه ممان-زاویه منتشر شده در مرجع [8] برای سازه های لوله ای تأیید شده است. ژنگ [8] یک حل تحلیلی (معادله 15) برای خم سازه های لوله ای براساس تئوری خطوط محوری پلاستیک استخراج نموده است که با



شکل ۸ مدل دقیق برای مقطع دایروی و مربعی



شکل ۹ مدل ساده‌شده برای مقاطع دایروی و مربعی

## نتایج

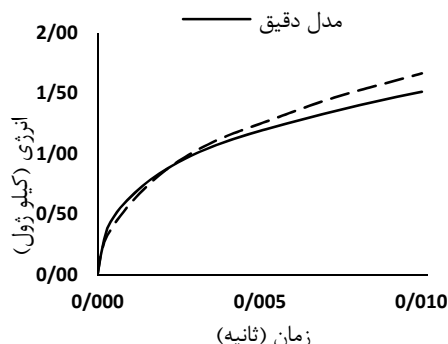
در شبیه‌سازی با هیدرودکد LS-DYNA، مدل‌ها با یک دیوار صلب با سرعت ۱۵ متر بر ثانیه در مدت زمان ۰/۰۱ ثانیه برخورد می‌کنند. نتایج حاصل شده از هر دو مدل در شکل‌های (۱۰-۱۹) و جدول (۳) مقایسه شده‌اند. جدول (۳) نشان می‌دهد که نتایج دینامیکی به دست آمده از مدل ساده‌شده با مدل دقیق، درصد اختلاف کمی در پارامترهای جابه‌جایی، نیروی ضربه و انرژی جذب شده دارند و تطابق خوبی مشاهده می‌شود. لازم به ذکر است مقدار پارامتر جابه‌جایی، بسیار نزدیک به مدل دقیق (نزدیک به صفر) به دلیل استفاده از المان‌های تیر زیاد و همچنین با درجه تابع شکل بالاتر به دست آمده است و این خود تأییدی بر صحت مدل ساده‌شده می‌باشد. در ادامه مقایسه‌ای بین مدل ساده‌شده و دقیق برای دو مقطع متفاوت مربعی و دایروی انجام شده است. نتایج مربوط به آن در نمودار میزان جذب انرژی سازه (شکل ۲۰ و ۱۵) آمده است. همان‌طور که ملاحظه می‌گردد بیشترین میزان جذب انرژی مربوط به مقطع مربعی برای هر دو مدل ساده و

یکسانی از خود نشان می‌دهند [1, 3, 10].

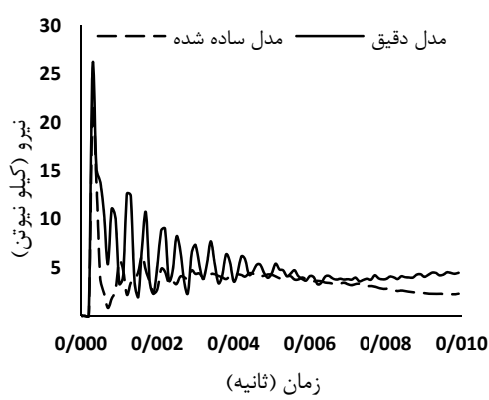
شکل (۸) مدل دقیق شامل المان‌های پوسته‌ای و شکل (۹) مدل ساده‌شده را نشان می‌دهد که از روش مدل‌سازی لیو در مرجع [1] ایجاد شده است. در این مدل از المان‌های قنر چرخشی غیرخطی براساس رابطه (۱۴) برای مدل‌سازی خطوط محوری پلاستیک استفاده می‌شود. اساس این مدل ساده‌شده بر فنر پیچشی غیرخطی استوار است که در نقاط حساس مدل قرار می‌گیرد، پس برای تعریف المان فنر چرخشی غیرخطی در LS-DYNA، داده‌های ممان-زاویه مطابق شکل (۷) و رابطه تحلیلی (۱۴) به کار گرفته شده است. در مدل ساده‌شده گره پایانی تیر دارای خم، با ثابت نگهداشتن ۶ درجه آزادی به طور کامل مقید و تنها درجه آزادی جابه‌جایی طولی برای گره ابتدایی آزاد شده است که در آنجا سرعت اولیه لحظه گردیده است. به علاوه چون لوله دارای خم در صفحه دو بعدی تعریف شده است، قیدهای دیگری نیز بایستی به منظور جلوگیری از حرکت خارج از صفحه در نظر گرفته شود. ضمناً دو گره مشابه هم در مکان‌های المان فنری تعریف می‌شود. کلیه درجات آزادی آن‌ها به جز درجه آزادی چرخشی کوپل شده‌اند. جدول (۲) جزئیات شرایط ضربه و اطلاعات مدل‌های نرم‌افزاری را بیان می‌کند.

جدول ۲ مشخصات مواد، هندسه و شرایط ضربه

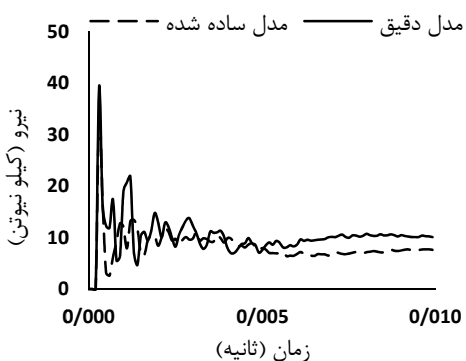
مدول یانگ	مدول سخت شوندگی
$2.1 \text{e}11 \text{Pa}$	$7830 (\text{Kg/m}^3)$
$2\text{e}8 \text{ Pa}$	تنش تسلیم
$6.3\text{e}8 \text{ Pa}$	مدول سخت شوندگی
0.3	صریب پواسون
1455 mm	طول کل
50 mm	قطر
1.5 mm	ضخامت
400 Kg	جرم اضافه شده
$15 \text{m/s}$	سرعت اولیه
0.01 sec	زمان ضربه



شکل ۱۲ انرژی جذب شده مدل دقیق و ساده شده مربعی



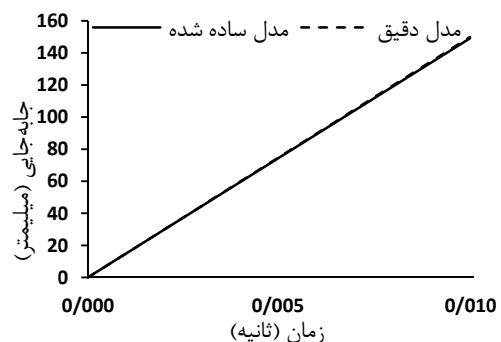
شکل ۱۳ نیروی ضربه برای مدل دقیق و ساده شده دایروی



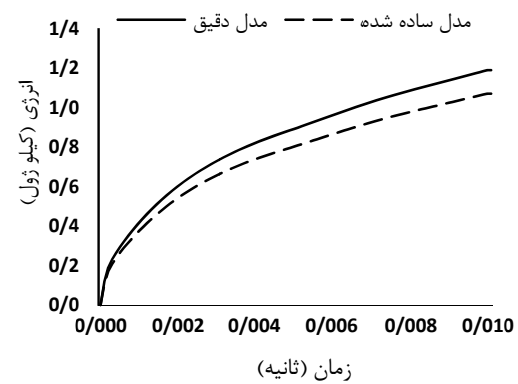
شکل ۱۴ نیروی ضربه برای مدل دقیق و ساده شده مربعی

اشکال (۱۶-۱۹) نیز فرم تغییر شکل یافته از مدل دقیق و ساده شده را نشان می دهند که تقریباً ساختار مشابهی بین آنها در هر دو مقطع مربعی و دایروی وجود دارد. در مجموع با بررسی نتایج و نزدیک بودن نتایج مدل ساده شده با مدل دقیق، صحت رابطه (۱۴) و نیز روش مدل سازی تأیید می شود.

دقیق است. از این طریق می توان بسته به اهمیت انرژی جذب شده یا نیروی وارد شده به سازه به انتخاب مقطع مناسب پرداخت. همان طور که از شکل های (۱۱-۱۴) مشخص است، اگر در طراحی میزان انرژی جذب شده مهم باشد بایستی از جاذب با مقطع مربعی و اگر نیروی وارد شده به سازه از اهمیت بیشتری برخوردار باشد بایستی از جاذب با مقطع دایروی استفاده شود. دلیل افزایش نیروی وارد به سازه با مقطع مربعی می تواند گوشیدار بودن سطح مقطع مربعی و به تبع آن ایجاد تمرکز تنش در سازه باشد. به عنوان مثال می توان به این موضوع اشاره کرد که جاذب های انرژی استفاده شده در قطار اکثرآ از نوع دایروی و جاذب های انرژی استفاده شده در شاسی خودرو اکثرآ مربعی می باشند.

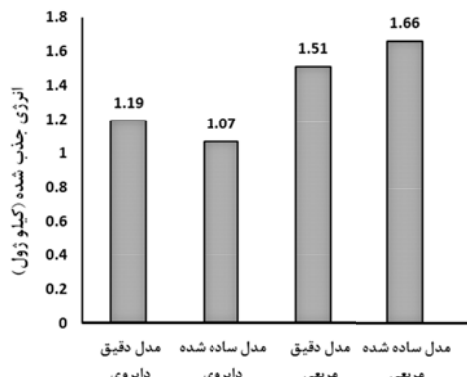


شکل ۱۰ جایه جایی کلی مدل های ساده شده و دقیق دایروی

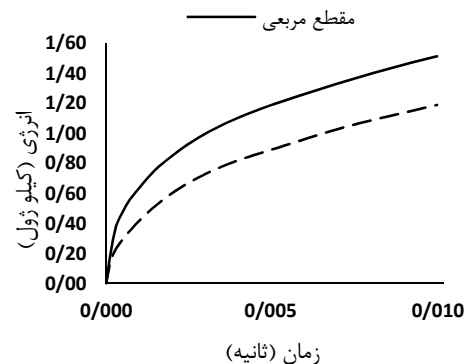


شکل ۱۱ انرژی جذب شده مدل دقیق و ساده شده دایروی

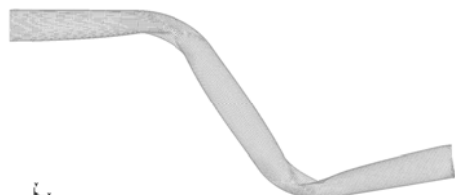
جدول ۳ مقایسه نتایج حاصل از مدل دقیق و ساده شده برای مقاطع دایروی و مربعی							
درصد اختلاف (%)	مدل ساده (مربع)	مدل دقیق (مربع)	مدل ساده (دایروی)	مدل دقیق (دایروی)	مدل ساده (مربعی)	مدل دقیق (مربعی)	جابه جانی (mm)
۰/۰۶	۱۴۸/۹	۱۴۹	۰/۱۳	۱۴۸/۸	۱۴۹	۰/۰۷	۰/۰۷
۱۲/۵	۳۴/۴	۴۹/۳	۱۷/۹	۲۱/۵	۲۵/۹	۱۰/۰	۰/۰۷
-۹/۹	۱/۶۶	۱/۵۱	۱۰	۱/۰۷	۱/۱۹	۰/۰۷	۰/۰۷



شکل ۲۰ مقایسه انرژی جذب شده



شکل ۱۵ انرژی جذب شده مدل‌های دقیق دایروی و مربعی



شکل ۱۶ مدل دقیق تغییر شکل یافته برای مقاطع دایروی



شکل ۱۷ مدل دقیق تغییر شکل یافته برای مقاطع مربعی



شکل ۱۸ مدل ساده شده و تغییر شکل یافته برای مقاطع دایروی



شکل ۱۹ مدل ساده شده و تغییر شکل یافته برای مقاطع مربعی

این مقاله تخریب خمینی لوله‌های جدار نازک را به دلیل کاربرد فراوان در صنایع خودرو و ریلی با ارائه مدل ساده شده عددی بررسی می‌نماید. با شبیه‌سازی ضربه محوری و مقایسه نتایج و تئوری‌های منتشر شده صحت رابطه (۱۴) برای پیش‌بینی رفتار ضربه لوله‌های جدار نازک تأیید شده است که قابل کاربرد برای تخصیص المان‌های فنر چرخشی غیرخطی به مدل ساده شده می‌باشد. هم‌چنین مقایسه‌ای بین لوله‌های جدار نازک با مقاطع دایروی و مربعی صورت گرفته است تا بتوان از این مسیر برای بعضی از قطعات

نتایج در پارامترهای جابه‌جایی، نیروی ضربه و انرژی جذب شده ناچیز است، لذا از این تکنیک مدل‌سازی بحرانی که در مراحل اولیه طراحی برای ارزیابی تحلیل‌های ضربه و شبیه‌سازی کامپیوتری استفاده می‌شود، می‌توان به منظور کاهش زمان محاسبات و صرفه‌جویی در منابع بهره برد.

شاخص خودرو با توجه به اهمیت انرژی جذب شده یا نیروی وارد به سازه انتخاب صحیحی صورت پذیرد. انتخاب نوع مقطع می‌تواند برای مثال در هنگام برخورد خودرو با موانع برای اتومبیل و سرنشیان بسیار مهم باشد. در آنها با مقایسه نتایج مربوط به مدل دقیق و مدل ساده شده مشاهده می‌گردد که درصد انحراف

## مراجع

1. Liu YC, Day ML. "Simplified modelling of thin walled box section beam", *I.J. Crash*, Vol. 11, No. 3, pp. 263–272, (2006).
2. Hamza K, Saitou K, "Design optimization of vehicle structures for crashworthiness using equivalent mechanism approximations", *Journal of Mechanical Design*, pp. 127 / 485, (2005).
3. Liu, Y.C., "Development of simplified models for crashworthiness analysis", PhD thesis, Louisville, University of Louisville, (2005).
4. Wierzbicki, T., Recke, L., Abramowicz, W. and Gholami, T., "Stress profiles in thin-walled prismatic columns subjected to crush loading", *I. Compression. ComputStruct*, pp. 51(6):611–23. (1994).
5. Wierzbicki, T., Recke, L., Abramowicz, W., Gholami, T. and Huang, J., "Stress profiles in thin-walled prismatic columns subjected to crush loading"—*II. Bending. Comput. Struct.*, pp. 51(6): 623–41, (1994).
6. Kecman, D., "Bending collapse of rectangular and square section tubes", *Int. J. MechSci*, pp. 25 (9–10) 623–36, (1983).
7. Abramowicz, W., "Simplified crushing analysis of thin-walled columns and beams", *RozprInzEng Trans*, pp. 29(1):5–26, (1981).
8. Zheng, L. and Wierzbicki, T., "Quasi-static crushing of S-shaped aluminum front rail", *Int. J. crashworthiness*, pp. 9(2):155–73, (2004).
9. Mamalis, A., Manolakos, D., Loannidis M. and Kostazos, P., "Bending of cylindrical steel tubes: numerical modeling", *Int. J. Crashworthiness*, pp. 11(1):37–47, (2006).
10. Kim, HS, Kang, SY, Lee, IH, Park, SH. and Han, D.C. "Vehicle frontal crashworthiness analysis by simplified structure modeling using nonlinear spring and beam elements", *Int. J. crashworthiness*, pp. 2(1):107–17, (1996).
11. خلخالی، ابوالفضل، درویزه، ابوالفضل، نریمان زاده، نادر و معصومی، ابوالفضل، «تحلیل تئوریک تغییر شکل‌های بزرگ در جاذب‌های انرژی S شکل»، هفدهمین کنفرانس سالانه مهندسی مکانیک، تهران، (۱۳۸۸).